

تحلیل قضایی روند خشکسالی و محاسبه میزان بارش قابل اعتماد در استان خوزستان

ماندانی امانی

دانشجوی دکتری تخصصی آب و هواشناسی، گروه جغرافیا، واحد اهواز، دانشگاه آزاد اسلامی، اهواز، ایران

رضًا بُرنا^۱

دانشیار گروه جغرافیا، واحد اهواز، دانشگاه آزاد اسلامی، اهواز، ایران

منیزه ظهوریان

استادیار گروه جغرافیا، واحد اهواز، دانشگاه آزاد اسلامی، اهواز، ایران

تاریخ دریافت: ۱۳۹۸/۰۴/۵ تاریخ پذیرش: ۱۳۹۸/۱۲/۲۰

چکیده

در پژوهش حاضر به منظور تعیین روند خشکسالی و محاسبه میزان بارش قابل اعتماد در خوزستان داده‌های بارش سالانه ۱۱ ایستگاه استان طی دوره زمانی ۲۵ ساله (۱۹۹۳-۲۰۱۷) انتخاب گردید. در ادامه به کمک نرم افزار SPSS ابتدا مشخصات آماری بارش ایستگاه‌ها (میانگین، میانگین هندسی، انحراف معیار، ضریب تغییرات خشکسالی و ترسالی شاخصهای سه گانه DRI, PNPI, ZSIAP) برای تمامی ایستگاه‌ها تعیین گردید. سپس براساس آستانه‌های بارشی حاصل، سال‌های رخداد خشکسالی، نرمال و ترسالی ایستگاه‌ها برای هر یک از شاخصها محاسبه گردید. نتایج نشان داد که ضمن مقایسه مقادیر محاسباتی متضایل شاخصهای یاد شده، شاخص بارش استاندارد شده (ZSIAP) با اطمینان و قابلیت بیشتر، مناسبتر تشخیص داده شد. بررسیها آشکار نمود که با گذر از سال ۲۰۰۷ و ورود به دهه پایانی دوره آماری نه تنها شدت و تکرار خشکسالی‌ها افزایش یافته است بلکه تعدد و تنوع ایستگاه‌های دارای خشکسالی نیز بیشتر شده است به گونه‌ای که اکثر ایستگاه‌ها بویژه جنوب غربی خشکسالی‌های بیشتری را تجربه کرده‌اند. روندیابی خشکسالی با بهره‌گیری از آزمون من-کنдал نشان داد که در بازه زمانی مطالعاتی، ایستگاه‌های بستان، بهبهان، شوشتر و ذرفول فاقد روند بوده‌اند. ایستگاه‌های امیدیه، ایذه، مسجد سلیمان، ماشهر، آبدان، رامهرمز، اهواز روند منفی داشته‌اند یعنی شدت خشکسالی در این مناطق افزایش یافته است.

کلمات کلیدی: استان خوزستان، خشکسالی، شاخص‌های خشکسالی، من-کنдал

مقدمه

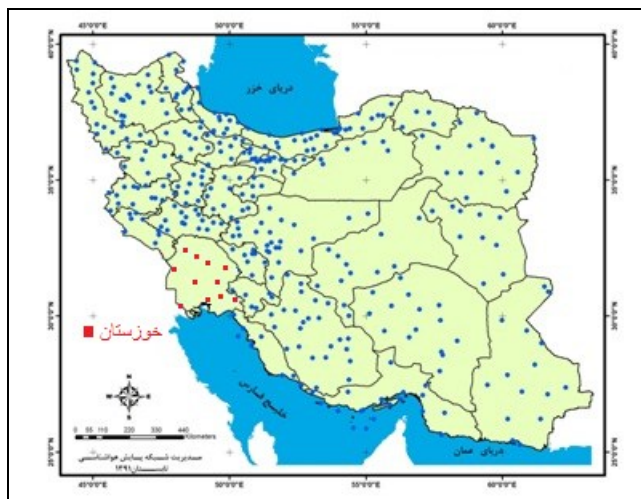
پدیده خزنده و مخرب خشکسالی در طول ادوار تاریخی خسارات فراوانی در ایران به بار آورده است. یکی از مهمترین اسناد موجود در باره خشکسالی در ایران کتبه‌ای از داریوش در تخت جمشید است که در آن از خشکسالی به عنوان دومین معضل ایران یاد شده است (قویدل رحیمی، ۱۳۸۱: ۲۱-۳۴). شناخت ویژگی‌های طبیعی هر منطقه، خصوصاً آب و هوا می‌تواند در امر برنامه‌ریزی آمایش آن سرزمین نقش عمده‌ای ایفا نماید. در این راستا شناسایی رخدادهای نشان‌دهنده تغییرات اقلیمی چون خشکسالی در مقیاس زمانی و مکانی جهت دستیابی به توسعه همه جانبی در ابعاد سلسله مراتبی محلی - ملی و منطقه‌ای ضروری می‌باشد. وجود توانهای محیطی، اقتصادی، کشاورزی و صنعتی (طرحهای عظیم نفت و گاز و پتروشیمی) در استان خوزستان و بهره برداری بهینه از آنها و نیز پیش‌بینی وقوع حوادث حدی چون سیل و خشکسالی و....، ضرورت شناخت صحیح شرایط جوی و ویژگی‌های آب و هوایی مناطق مختلف استان را بویژه برای برنامه‌ریزان آشکار ساخته است.

از دیدگاه پالمر (۱۹۶۵) خشکسالی عبارت است از کمبود مستمر و غیر طبیعی رطوبت. در تعریف وی واژه مستمر بیانگر زمان آغاز تا پایان خشکسالی یا زمان تداوم آن بوده و واژه غیر طبیعی به انحراف یا نوسان منفی شاخص مورد توجه نسبت به شرایط میانگین معمول اطلاق می‌شود (بذرافشان، ۱۳۸۱، ص. ۹).

(رضیئی، ۱۳۸۲: ۵۵) به پایش پدیده خشکسالی در ایران مرکزی با استفاده شاخص SPI در یک دوره آماری ۴۰ ساله پرداخته و نقشه‌های تولید شده تحقیق نشان می‌دهند که پدیده خشکسالی از غرب به شرق از یک روند تقریباً افزایشی پیروی نموده و در حاشیه شرقی استان یزد شدت خشکسالی‌ها به حداقل می‌رسد. (قویدل رحیمی، ۱۳۸۳: ۴۷) در مطالعه‌ای ویژگی‌های زمانی - مکانی دوره‌های مرطوب و خشک ایستگاه‌های آذربایجان شرقی را با استفاده از روش SPI در مقیاس زمانی یک ماه و سه ماهه مورد تجزیه و تحلیل قرار داده‌اند. نامبرگان براساس نتایج حاصل از روش SPI با استفاده از کریکینگ اقدام به پنهانی‌بندی ماهانه و فصلی خطر خشکسالی در استان آذربایجان شرقی نموده‌اند. (رمضانی، ۱۳۸۴: ۲۴۹) به بررسی پدیده خشکسالی با استفاده از شاخص درصد نرمال بارندگی در نواحی مرکزی گیلان پرداخته و نتایج تحقیق نشان داده مناطق ساحلی و جلگه‌ای در شرایط خشکسالی و مناطق کوهپایه و کوهستانی در شرایط تراسی می‌باشند. (زاهدی قره آقاج و قویدل رحیمی، ۱۳۸۶: ۲۲) در تحقیق خود با استفاده نمایه بارش قابل اعتماد DRI اقدام به بررسی دوره‌های مرطوب و خشک در آذربایجان شرقی نموده‌اند و یافتند که وقوع پدیده خشکسالی در استان با شدت و ضعفهایی همراه بوده است. همچنین مدل بارش قابل اعتماد با داشتن قابلیت‌های بیشتر و محدودیتهای کمتر بهتر از دیگر مدل‌ها تشخیص داده شده است. (بیک دلی، ۱۳۸۷) در تعیین آستانه‌های خشکسالی و محاسبه میزان بارش قابل اعتماد ایستگاه‌های محدوده غرب استان گیلان نتیجه گرفته است که در دوره آماری (۱۹۸۲- ۲۰۰۱) بیش از نیمی از ایستگاه‌های منطقه خشکسالی را تجربه نموده‌اند. (سیف و معروفی، ۱۳۸۸: ۲۲) به ارزیابی و تحلیل روند خشکسالی شهر شاهroud با استفاده از شاخص درصد نرمال، بارش (RAI)، شاخص (Z-Score) و شاخص دهکها پرداخته و یافتند که روند بارش کلی این منطقه متغیر است و در ۲۴ سال بارش‌ها کمتر از میانگین کلی دوره می‌باشد و در ۱۹ درصد موارد با خشکسالی

بسیار شدید و شدید رویه رو خواهیم بود. (هوشمندی، ۱۳۸۸: ۴۵) به تعیین آستانه خشکسالی و بارش قابل اعتماد منطقه بهبهان با استفاده از شاخص‌های توزیع استاندارد، درصد بارش از میانگین و شاخص بارش قابل اعتماد (DRI) در بین سال‌های ۱۳۴۳ تا ۱۳۸۷ پرداخته و براین اساس یافته است که دهه ۱۳۷۷-۸۷ خشک‌ترین دهه در دوره آماری بوده و دهه ۱۳۵۴-۵۵ بالاترین درصد از لحاظ توزیع استاندارد و درصد میانگین بارش را در بر می‌گیرد. (قدرتی، ۱۳۸۹: ۳۰) سابقه خشکسالی و ترسالی‌های رشت و بندر انزلی به روش‌های مختلف در مقیاس‌های زمانی روزانه، ماهانه و سالانه با استفاده از شاخص‌های بارش مؤثر روزانه ERI و نمایه استاندارد شده بارش SPI و معیار بارندگی سالانه SIAP مورد بررسی قرار داده‌اند و نتیجه گرفته شده که تداوم دوره خشکسالی خفیف تا اواخر ۲۰۰۹ ادامه دارد؛ بطوری که شاخص SPI در بیشتر ماه‌ها کوچکتر از صفر می‌باشد. (اربابی سبزواری، ۱۳۸۹: ۱۰۵) در تحلیل اثر خشکسالی با روش درون یابی شاخص Z نرمال بارندگی در منطقه کاشان نتیجه گرفت که در مجموع در سه ۱۹۹۹ تا ۲۰۰۱ شرایط منفی و نامساعد بارشی مشاهده می‌شود که شدیدترین وضعیت بارش در دوره سه ماهه بهار سال ۲۰۰۰ ثبت شده است. (عیوضی، ۱۳۹۱: ۶۵) ضمن بررسی و تعیین مناسب‌ترین نمایه خشکسالی اقلیمی در سطح استان گلستان یافت که نمایه دهک‌های بارندگی و نمایه بارش استاندارد شده هم از نظر تقارن وقوع کمینه بارندگی با دو وضعیت خشکسالی بسیار شدید و شدید و هم از نظر میانگین همبستگی و انحراف معیار نسبت به دیگر نمایه‌های مورد مطالعه بهتر بوده است. از این رو نسبت به دیگر نمایه‌ها در تعیین خشکسالی‌های هواشناسی برتر بوده است. ضمن اینکه نمایه Z-Score نیز نتایج تقریباً مشابه و همسوی با بارش استاندارد شده داشته است. از آنجا که بررسی دقیق رفتار آب و هوایی قلمروهای جغرافیایی برای دستیابی به برنامه‌ریزی مدیریت بحران حوادث طبیعی (خشکسالی، سیل و ...) ضروری است؛ در پژوهش حاضر سعی شده است با استفاده از شاخص‌های ZSIAP، PNPI و DRI، ضمن تعیین روند خشکسالی، روش‌های مناسب جهت برآورد بارش قابل اعتماد در استان خوزستان مورد بررسی قرار گیرد.

در این پژوهش به منظور تعیین روند خشکسالی و محاسبه میزان بارش قابل اعتماد در استان خوزستان، داده‌های بارش ماهانه ۱۱ ایستگاه سینوپتیک منطقه در یک دوره زمانی ۲۵ ساله (۱۹۹۳-۲۰۱۷) مورد بررسی قرار گرفت شکل (۱). در ادامه به منظور آماده سازی و تحلیل داده‌ها از نرم افزار SPSS استفاده شد و به ترتیب مراحل زیر انجام گرفت: ۱- مشخصات آماری بارش (میانگین، میانگین هندسی، انحراف معیار، ضریب تغییرات و) برای تمامی ایستگاه‌های انتخابی در استان خوزستان استخراج شد. ۲- ضمن استفاده از شاخص‌های DR، PNPI و ZSIAP، ابتدا آستانه‌های خشکسالی تعریف شد سپس وضعیت آستانه‌های بارشی نرمال، خشکسالی و ترسالی شاخص‌های سه گانه برای تمامی ایستگاه‌ها طی دوره آماری تعیین گردید. ۳- در مرحله بعد مقادیر محاسباتی شاخص DR هر کدام از ایستگاه‌ها با مقادیر متناظر شاخص‌های PNPI و ZSIAP مقایسه شد. ۴- در ادامه جهت تحلیل روند خشکسالی استان از آزمون ناپارامتریک روند یابی من کنдал استفاده شده است و ایستگاه‌ها و پنهانه‌های هم روند شناسایی، ترسیم و تفسیر شدند.



شکل ۱- ایستگاه‌های منتخب استان خوزستان

منبع: یافته‌های پژوهش، ۱۳۹۸

بحث

جهت تحلیل و محاسبه میزان بارش قابل اعتماد در استان خوزستان ابتدا ویژگیهای بارشی و سپس بر اساس روابط سه‌گانه (ZSIAP، PNPI و DRI) زیر محاسبات کلی به شرح زیر برای ایستگاه‌های استان انجام شد.

DR: نمایه بارش قابل اعتماد.

$$DR = \sqrt[N]{P_1 \times P_2 \times P_3 \times \dots \times P_N} \times (0.8) \quad (1)$$

مقیاس ارایه شده برای طبقه‌بندی شدت و تعیین کیفیت بارش از طریق نمایه‌ی DR به شرح ذیل می‌باشد:

$$NP = DR \leq P \leq GM \quad D = P < DR \quad W = P > GM$$

GM: ضریب ثابت معادله، P: بارش سال مفروض، N: تعداد مشاهدات بارش سالیانه (طول دوره آماری)، میانگین هندسی، NP: محدوده نرمال، D: آستانه خشکسالی، W: عدد آستانه ترسالی می‌باشدند.

نمایه درصد از بارش میانگین (PNPI)

$$PNPI = \left(P_i \times \bar{P} \right) \times 100 \quad (2)$$

نمایه نمرات استاندارد شده بارش (SIAP)

$$SIAP = \frac{P_i - \bar{P}}{P_{sd}} \quad (3)$$

در معادلات فوق P_i : بارش سال مفروض، \bar{P} : میانگین بلند مدت بارش، P_{sd} : انحراف معیار بارش بلند مدت (واحد میلیمتر) ایستگاه‌ها می‌باشند.

هر دو شاخص ZSIAP و PNPI دارای مقیاس طبقه‌بندی است که در این مطالعه از مقیاس طبقه‌بندی تغییر یافته و سازگار با شرایط اقلیمی ایران به شرح جدول (۱) استفاده شده است. برای قابل قیاس کردن نتایج حاصل از دو شاخص PNPI و ZSIAP با نمایه DR مقیاس طبقه‌بندی به شرح جدول (۲) در سه کلاسمان خشکسالی، نرمال و ترسالی تنظیم شد.

۱۰۱ تحلیل فضایی روند خشکسالی و محاسبه...

جدول ۱- مقیاس طبقه‌بندی شدت خشکسالی به روش PNPI و ZSIAP (خلیلی، بذر افغانستان، ۱۳۸۲:۸۹)

| نرمال | شدت | خشکسالی | خشکسالی ضعیف | خشکسالی متوسط | خشکسالی شدید | خشکسالی بسیار شدید | آستانه نرمال | آستانه |
|-------|-------|-----------|--------------|---------------|--------------|--------------------|--------------|-----------|
| ۸۰ | PNPI | ۱۲۰ تا ۸۰ | درصد | ۷۰ تا ۵۵ | درصد | ۴۰ تا ۵۵ | درصد | ۸۰ تا ۱۲۰ |
| - | ZSIAP | - | - | - | - | - | - | - |
| ۱/۲۸ | | - | - | - | - | - | +/۲۵ | -/۲۵ |

منبع: یافته‌های پژوهش، ۱۳۹۸

جدول ۲- مقیاس طبقه‌بندی تعدیل شده برای مقایسه خروجی شاخص‌ها با هم‌دیگر

| وضع نرمال | خشکسالی | ترسالی | شاخص |
|----------------|---------|-----------------|------|
| ۱۲۰ تا ۸۰ درصد | PNPI | کمتر از ۸۰ درصد | PNPI |
| -/۲۵ | ZSIAP | +/۲۵ | -/۲۵ |

منبع: یافته‌های پژوهش، ۱۳۹۸

پس از بررسی ویژگی‌های بارشی ایستگاه‌ها جدول (۳) و نیز تعیین آستانه‌های وضعیت خشکسالی ایستگاه‌ها با استفاده از شاخص DR و ZSIAP و PNPI مقادیر عددی شاخص‌های مذکور برای هر یک از ایستگاه‌ها محاسبه شد. در ادامه با مبنای قرار دادن مقادیر مذکور اقدام به طبقه‌بندی بارش و تعیین سال‌های مرطوب، نرمال و خشک برای هر یک از سال‌های دوره آماری ایستگاه‌ها شد. مقادیر محاسبه‌ی نمایه DIR علاوه بر اینکه آستانه‌ی خشکسالی ایستگاه‌ها محسوب می‌شوند، بیانگر مقدار نسبتاً قابل اطمینانی از بارش است که در بلند مدت می‌توان روی آن مقدار در برنامه‌ریزی‌ها حساب کرد. جهت کاهش حجم مقاله جداول ایستگاه‌های آبادان، اهواز، دزفول، بهبهان و ایذه به نمایندگی از مناطق جغرافیای استان آورده شده‌اند. جداول (۸، ۷، ۶، ۵، ۴ و ۳).

جدول ۳- مشخصات آماری بارش سالانه در ایستگاه‌های منتخب استان خوزستان

| ایستگاه | اهواز | آبادان | ماهشهر | بهبهان | بسستان | دزفول | ایذه | سلیمان | مسجد | امیدیه | رامهرمز | شوستر |
|---------------|-------|--------|--------|--------|--------|-------|-------|--------|------|--------|---------|-------|
| متوسط بارش | ۲۰۶ | ۱۴۷ | ۲۵۲/۵ | ۳۲۷ | ۱۹۵ | ۳۸۲ | ۶۲۰/۵ | ۳۹۹ | ۲۴۷ | ۲۸۸/۵ | ۲۹۲/۵ | |
| میانگین هننسی | ۱۹۱ | ۱۳۶ | ۲۲۵ | ۳۰۹ | ۱۸۳ | ۳۶۳ | ۵۹۲ | ۳۸۰ | ۲۳۴ | ۱۰۶ | ۷۵/۵ | |
| دامنه بارش | ۳۹۲ | ۱۶۳ | ۳۱۳ | ۳۷۰/۵ | ۲۵۸ | ۵۱۸ | ۷۵۲ | ۳۸۹ | ۲۴۵ | ۲۳۹ | ۲۸۶ | |
| کمینه بارش | ۷۷ | ۹۸ | ۱۱۲/۵ | ۸۹ | ۲۹۶ | ۱۸۸ | ۲۴۷ | ۲۴۷ | ۱۵۶ | ۱۷۶ | ۱۵۵ | |
| بیشینه بارش | ۴۶۹ | ۲۳۶ | ۴۱۱ | ۴۸۳ | ۳۴۷ | ۷۰۶ | ۱۰۴۸ | ۶۳۶ | ۴۰۱ | ۵۱۵ | ۴۴۱ | |
| انحراف معیار | ۷۹/۵ | ۵۳ | ۹۰/۲ | ۹۳/۶ | ۶۸/۲ | ۱۲۵ | ۱۸۶ | ۱۲۱ | ۷۸/۸ | ۱۰۶ | ۷۵/۵ | |
| ضریب تغییرات | ۳۸ | ۳۶ | ۲۸ | ۳۵ | ۲۳ | ۳۰ | ۳۰ | ۳۲ | ۳۶/۵ | ۲۶ | | |

منبع: یافته‌های پژوهش، ۱۳۹۸

جدول ۴- مقایسه نتایج حاصل از کاربرد آستانه شاخص‌های مختلف برای تعیین خشکسالیها سال‌های نرمال و ترسالی‌های دزفول

| وضعیت | ZSIAP | وضعیت | DR | وضعیت | PNPI | وضعیت | بارش |
|-------|---------|-------|---------|-------|--------|---------|------|
| -۱.۰۲ | خشکسالی | - | خشکسالی | 254.3 | 66.57 | خشکسالی | ۱۹۹۳ |
| -0.63 | خشکسالی | - | نرمال | 303 | 79.32 | خشکسالی | ۱۹۹۴ |
| -0.51 | خشکسالی | - | نرمال | 317.6 | 83.14 | نرمال | ۱۹۹۵ |
| 1.02 | ترسالی | - | ترسالی | 510.3 | 133.59 | ترسالی | ۱۹۹۶ |
| -0.19 | نرمال | - | نرمال | 358 | 93.72 | نرمال | ۱۹۹۷ |
| 0.19 | نرمال | - | ترسالی | 405.3 | 106.10 | ترسالی | ۱۹۹۸ |
| -0.16 | نرمال | - | نرمال | 361.8 | 94.71 | نرمال | ۱۹۹۹ |
| -1.17 | خشکسالی | - | خشکسالی | 234.7 | 61.44 | خشکسالی | ۲۰۰۰ |
| 1.44 | ترسالی | - | ترسالی | 562.2 | 147.17 | ترسالی | ۲۰۰۱ |
| 0.06 | نرمال | - | ترسالی | 390 | 102.09 | نرمال | ۲۰۰۲ |
| -0.29 | خشکسالی | - | نرمال | 346 | 90.58 | نرمال | ۲۰۰۳ |

۱۰۲ فصلنامه علمی - پژوهشی جغرافیا و برنامه‌ریزی منطقه‌ای، سال دوازدهم، شماره اول، زمستان ۱۴۰۰

| | | | | | | | |
|------|-------|--------|---------|-------|---------|-------|---------|
| ۲۰۰۴ | 568.1 | 148.72 | ترسالی | 568.1 | ترسالی | 1.48 | ترسالی |
| ۲۰۰۵ | 258.7 | 67.72 | خشکسالی | 258.7 | خشکسالی | -0.98 | خشکسالی |
| ۲۰۰۶ | 452.7 | 118.51 | نرمال | 452.7 | ترسالی | 0.56 | ترسالی |
| ۲۰۰۷ | 705.7 | 184.74 | ترسالی | 705.7 | ترسالی | 2.58 | ترسالی |
| ۲۰۰۸ | 448.6 | 117.43 | نرمال | 448.6 | ترسالی | 0.53 | ترسالی |
| ۲۰۰۹ | 530.1 | 138.77 | ترسالی | 530.1 | ترسالی | 1.18 | ترسالی |
| ۲۰۱۰ | 429.7 | 112.49 | نرمال | 429.7 | ترسالی | 0.38 | ترسالی |
| ۲۰۱۱ | 295 | 77.23 | خشکسالی | 295 | نرمال | -0.69 | خشکسالی |
| ۲۰۱۲ | 289 | 75.65 | خشکسالی | 289 | خشکسالی | -0.74 | خشکسالی |
| ۲۰۱۳ | 257 | 67.28 | خشکسالی | 257 | خشکسالی | -1.00 | خشکسالی |
| ۲۰۱۴ | 322 | 84.29 | نرمال | 322 | نرمال | -0.48 | خشکسالی |
| ۲۰۱۵ | 188 | 49.21 | خشکسالی | 188 | خشکسالی | -1.55 | خشکسالی |
| ۲۰۱۶ | 186 | 49.01 | خشکسالی | 186 | خشکسالی | -1.57 | خشکسالی |
| ۲۰۱۷ | 179 | 48.97 | خشکسالی | 179 | خشکسالی | -1.65 | خشکسالی |

منبع: یافته‌های پژوهش، ۱۳۹۸

جدول ۵- مقایسه نتایج حاصل از کاربرد آستانه شاخص‌های مختلف برای تعیین خشکسالیها سال‌های نرمال و ترسالی‌های ایستگاه ایذه

| | بارش | PNPI | وضعیت | DR | وضعیت | ZSIAP | وضعیت |
|------|--------|--------|---------|--------|---------|-------|---------|
| ۱۹۹۳ | 974.5 | 157.05 | ترسالی | 974.5 | ترسالی | 1.90 | ترسالی |
| ۱۹۹۴ | 690.8 | 111.33 | نرمال | 690.8 | ترسالی | 0.38 | ترسالی |
| ۱۹۹۵ | 495.1 | 79.79 | خشکسالی | 495.1 | نرمال | -0.67 | خشکسالی |
| ۱۹۹۶ | 1048.2 | 168.93 | ترسالی | 1048.2 | ترسالی | 2.29 | ترسالی |
| ۱۹۹۷ | 748.6 | 120.65 | ترسالی | 748.6 | ترسالی | 0.69 | ترسالی |
| ۱۹۹۸ | 570.1 | 91.88 | نرمال | 570.1 | نرمال | -0.27 | خشکسالی |
| ۱۹۹۹ | 568.8 | 91.67 | نرمال | 568.8 | نرمال | -0.28 | خشکسالی |
| ۲۰۰۰ | 600.6 | 96.79 | نرمال | 600.6 | ترسالی | -0.11 | نرمال |
| ۲۰۰۱ | 601.8 | 96.99 | نرمال | 601.8 | ترسالی | -0.10 | نرمال |
| ۲۰۰۲ | 764.6 | 123.22 | ترسالی | 764.6 | ترسالی | 0.77 | ترسالی |
| ۲۰۰۳ | 502.8 | 81.03 | نرمال | 502.8 | نرمال | -0.63 | خشکسالی |
| ۲۰۰۴ | 666 | 107.33 | نرمال | 666 | ترسالی | 0.24 | نرمال |
| ۲۰۰۵ | 791.5 | 127.56 | ترسالی | 791.5 | ترسالی | 0.92 | ترسالی |
| ۲۰۰۶ | 871 | 140.37 | ترسالی | 871 | ترسالی | 1.34 | ترسالی |
| ۲۰۰۷ | 563 | 90.73 | نرمال | 563 | نرمال | -0.31 | خشکسالی |
| ۲۰۰۸ | 339 | 54.63 | خشکسالی | 339 | خشکسالی | -1.51 | خشکسالی |
| ۲۰۰۹ | 631 | 101.69 | نرمال | 631 | ترسالی | 0.06 | نرمال |
| ۲۰۱۰ | 368 | 59.31 | خشکسالی | 368 | خشکسالی | -1.35 | خشکسالی |
| ۲۰۱۱ | 485 | 78.16 | خشکسالی | 485 | نرمال | -0.73 | خشکسالی |
| ۲۰۱۲ | 702 | 113.14 | نرمال | 702 | ترسالی | 0.44 | ترسالی |
| ۲۰۱۳ | 417 | 67.20 | خشکسالی | 417 | خشکسالی | -1.09 | خشکسالی |
| ۲۰۱۴ | 576 | 92.83 | نرمال | 576 | نرمال | -0.24 | نرمال |
| ۲۰۱۵ | 296 | 47.70 | خشکسالی | 296 | خشکسالی | -1.74 | خشکسالی |
| ۲۰۱۶ | 482 | 78 | خشکسالی | 482 | نرمال | -1 | خشکسالی |
| ۲۰۱۷ | 387 | 61 | خشکسالی | 387 | خشکسالی | -1.35 | خشکسالی |

منبع: یافته‌های پژوهش، ۱۳۹۸

جدول ۶- مقایسه نتایج حاصل از کاربرد آستانه شاخص‌های مختلف برای تعیین خشکسالیها سال‌های نرمال و تراسالی‌های ایستگاه بهبهان

| سال | بارش | PNPI | وضعیت | DR | وضعیت | ZSIAP | وضعیت |
|------|-------|--------|----------|-------|----------|-------|----------|
| ۱۹۹۳ | 303 | 92.66 | نرمال | 303 | نرمال | -0.26 | خشکسالی |
| ۱۹۹۴ | 387.6 | 118.53 | نرمال | 387.6 | ترراسالی | 0.65 | ترراسالی |
| ۱۹۹۵ | 290.6 | 88.87 | نرمال | 290.6 | نرمال | -0.39 | خشکسالی |
| ۱۹۹۶ | 389.9 | 119.24 | نرمال | 389.9 | ترراسالی | 0.68 | ترراسالی |
| ۱۹۹۷ | 414.5 | 126.76 | ترراسالی | 414.5 | ترراسالی | 0.94 | ترراسالی |
| ۱۹۹۸ | 410.8 | 125.63 | ترراسالی | 410.8 | ترراسالی | 0.90 | ترراسالی |
| ۱۹۹۹ | 443.1 | 135.50 | ترراسالی | 443.1 | ترراسالی | 1.25 | ترراسالی |
| ۲۰۰۰ | 188.1 | 57.52 | خشکسالی | 188.1 | خشکسالی | -1.49 | خشکسالی |
| ۲۰۰۱ | 329.6 | 100.80 | نرمال | 329.6 | ترراسالی | 0.03 | نرمال |
| ۲۰۰۲ | 322.7 | 98.69 | نرمال | 322.7 | ترراسالی | -0.05 | نرمال |
| ۲۰۰۳ | 286.2 | 87.52 | نرمال | 286.2 | نرمال | -0.44 | خشکسالی |
| ۲۰۰۴ | 482.9 | 147.68 | ترراسالی | 482.9 | ترراسالی | 1.68 | ترراسالی |
| ۲۰۰۵ | 316.4 | 96.76 | نرمال | 316.4 | ترراسالی | -0.11 | نرمال |
| ۲۰۰۶ | 362.9 | 110.98 | نرمال | 362.9 | ترراسالی | 0.39 | ترراسالی |
| ۲۰۰۷ | 301.4 | 92.17 | نرمال | 301.4 | نرمال | -0.28 | خشکسالی |
| ۲۰۰۸ | 115.7 | 35.38 | خشکسالی | 115.7 | خشکسالی | -2.27 | خشکسالی |
| ۲۰۰۹ | 294.8 | 90.15 | نرمال | 294.8 | نرمال | -0.35 | خشکسالی |
| ۲۰۱۰ | 112.4 | 34.37 | خشکسالی | 112.4 | خشکسالی | -2.31 | خشکسالی |
| ۲۰۱۱ | 360 | 110.09 | نرمال | 360 | ترراسالی | 0.35 | ترراسالی |
| ۲۰۱۲ | 433 | 132.42 | ترراسالی | 433 | ترراسالی | 1.14 | ترراسالی |
| ۲۰۱۳ | 343 | 104.89 | نرمال | 343 | ترراسالی | 0.17 | نرمال |
| ۲۰۱۴ | 393 | 120.18 | ترراسالی | 393 | ترراسالی | 0.71 | ترراسالی |
| ۲۰۱۵ | 239 | 73.09 | خشکسالی | 239 | خشکسالی | -0.95 | خشکسالی |
| ۲۰۱۶ | 237 | 73 | خشکسالی | 237 | خشکسالی | -0.96 | خشکسالی |
| ۲۰۱۷ | 230 | 58 | خشکسالی | 230 | خشکسالی | -1.1 | خشکسالی |

منبع: یافته‌های پژوهش، ۱۳۹۸

جدول ۷- مقایسه نتایج حاصل از کاربرد آستانه شاخص‌های مختلف برای تعیین خشکسالیها سال‌های نرمال و تراسالی‌های ایستگاه اهواز

| سال | بارش | PNPI | وضعیت | DR | وضعیت | ZSIAP | وضعیت |
|------|-------|------|----------|-------|----------|-------|----------|
| ۱۹۹۳ | 219.1 | 106 | نرمال | 219.1 | ترراسالی | 0.16 | نرمال |
| ۱۹۹۴ | 228.2 | 111 | نرمال | 228.2 | ترراسالی | 0.27 | ترراسالی |
| ۱۹۹۵ | 86.4 | 42 | خشکسالی | 86.4 | خشکسالی | -1.48 | خشکسالی |
| ۱۹۹۶ | 289.9 | 141 | ترراسالی | 289.9 | ترراسالی | 1.04 | ترراسالی |
| ۱۹۹۷ | 468.8 | 228 | ترراسالی | 468.8 | ترراسالی | 3.24 | ترراسالی |
| ۱۹۹۸ | 170.9 | 83 | نرمال | 170.9 | نرمال | -0.43 | خشکسالی |
| ۱۹۹۹ | 227.8 | 111 | نرمال | 227.8 | ترراسالی | 0.27 | ترراسالی |
| ۲۰۰۰ | 234.8 | 114 | نرمال | 234.8 | ترراسالی | 0.36 | ترراسالی |
| ۲۰۰۱ | 227.3 | 110 | نرمال | 227.3 | ترراسالی | 0.26 | ترراسالی |
| ۲۰۰۲ | 171.3 | 83 | نرمال | 171.3 | نرمال | -0.43 | خشکسالی |
| ۲۰۰۳ | 218.8 | 106 | نرمال | 218.8 | نرمال | 0.16 | نرمال |
| ۲۰۰۴ | 271.8 | 132 | ترراسالی | 271.8 | ترراسالی | 0.81 | ترراسالی |
| ۲۰۰۵ | 188.1 | 91 | نرمال | 188.1 | نرمال | -0.22 | نرمال |
| ۲۰۰۶ | 269.1 | 131 | ترراسالی | 269.1 | ترراسالی | 0.78 | ترراسالی |
| ۲۰۰۷ | 153.7 | 75 | خشکسالی | 153.7 | نرمال | -0.65 | خشکسالی |

۱۰۴ فصلنامه علمی - پژوهشی جغرافیا و برنامه‌ریزی منطقه‌ای، سال دوازدهم، شماره اول، زمستان ۱۳۹۰

| | | | | | | |
|------|-------|-----|---------|-------|---------|-------|
| ۲۰۰۸ | 105.1 | 51 | خشکسالی | 105.1 | خشکسالی | -1.25 |
| ۲۰۰۹ | 222.5 | 108 | نرمال | 222.5 | ترسالی | 0.20 |
| ۲۰۱۰ | 76.8 | 37 | خشکسالی | 76.8 | خشکسالی | -1.60 |
| ۲۰۱۱ | 145 | 70 | خشکسالی | 145 | خشکسالی | -0.75 |
| ۲۰۱۲ | 244 | 118 | نرمال | 244 | ترسالی | 0.47 |
| ۲۰۱۳ | 133 | 65 | خشکسالی | 133 | خشکسالی | -0.90 |
| ۲۰۱۴ | 217 | 105 | نرمال | 217 | ترسالی | 0.14 |
| ۲۰۱۵ | 170 | 83 | نرمال | 170 | نرمال | -0.44 |
| ۲۰۱۶ | 152 | 75 | خشکسالی | 152 | خشکسالی | -0.47 |
| ۲۰۱۷ | 68 | 34 | خشکسالی | 68 | خشکسالی | -1.68 |

منبع: یافته‌های پژوهش، ۱۳۹۸

جدول ۸- مقایسه نتایج حاصل از کاربرد آستانه شاخص‌های مختلف برای تعیین خشکسالیها سال‌های نرمال و ترسالی‌های ایستگاه آبادان

| سال | PNPI | وضعیت | DR | وضعیت | ZSIAP | وضعیت |
|------|-------|-------|---------|--------|---------|--------|
| ۱۹۹۳ | 177.6 | نرمال | 177.6 | ترسالی | 0.6 | ترسالی |
| ۱۹۹۴ | 227.0 | 154 | ترسالی | 227.0 | ترسالی | 1.5 |
| ۱۹۹۵ | 147.0 | 100 | نرمال | 147.0 | ترسالی | 0.0 |
| ۱۹۹۶ | 176.7 | 120 | نرمال | 176.7 | ترسالی | 0.5 |
| ۱۹۹۷ | 236.2 | 160 | ترسالی | 236.2 | ترسالی | 1.6 |
| ۱۹۹۸ | 88.9 | 60 | خشکسالی | 88.9 | خشکسالی | -1.1 |
| ۱۹۹۹ | 228.5 | 155 | ترسالی | 228.5 | ترسالی | 1.5 |
| ۲۰۰۰ | 155.5 | 105 | نرمال | 155.5 | ترسالی | 0.2 |
| ۲۰۰۱ | 191.3 | 130 | ترسالی | 191.3 | ترسالی | 0.8 |
| ۲۰۰۲ | 114.6 | 78 | خشکسالی | 114.6 | خشکسالی | -0.6 |
| ۲۰۰۳ | 115.2 | 78 | خشکسالی | 115.2 | خشکسالی | -0.6 |
| ۲۰۰۴ | 208.0 | 141 | ترسالی | 208.0 | ترسالی | 1.1 |
| ۲۰۰۵ | 192.0 | 130 | ترسالی | 192.0 | ترسالی | 0.8 |
| ۲۰۰۶ | 198.0 | 134 | ترسالی | 198.0 | ترسالی | 0.9 |
| ۲۰۰۷ | 144.1 | 98 | نرمال | 144.1 | نرمال | -0.1 |
| ۲۰۰۸ | 102.6 | 70 | خشکسالی | 102.6 | خشکسالی | -0.8 |
| ۲۰۰۹ | 126.6 | 86 | نرمال | 126.6 | خشکسالی | -0.4 |
| ۲۰۱۰ | 36.8 | 25 | خشکسالی | 36.8 | خشکسالی | -2.0 |
| ۲۰۱۱ | 73.0 | 49 | خشکسالی | 73.0 | خشکسالی | -1.4 |
| ۲۰۱۲ | 147.0 | 100 | نرمال | 147.0 | ترسالی | 0.0 |
| ۲۰۱۳ | 107.0 | 73 | خشکسالی | 107.0 | خشکسالی | -0.7 |
| ۲۰۱۴ | 97.0 | 66 | خشکسالی | 97.0 | خشکسالی | -0.9 |
| ۲۰۱۵ | 101.0 | 68 | خشکسالی | 101.0 | خشکسالی | -0.9 |
| ۲۰۱۶ | 192 | 130 | ترسالی | 192 | ترسالی | 0.8 |
| ۲۰۱۷ | 74 | 49 | خشکسالی | 74 | خشکسالی | -0.93 |

منبع: یافته‌های پژوهش، ۱۳۹۸

جدول ۹- دقت و مقبولیت در برآورد بارش قابل اعتماد برای شاخصهای سه گانه بر مبنای مقادیر آستانه‌های خشکسالی

| ایستگاه شاخص | اهواز | آبادان | ماهشهر | بهبهان | بسنان | دزفول | ایذه | مسجد سلیمان | امیدیه | رامهرمز | شوستر | ۲۱/۷ | ۳۰/۴۳ | ۲۱/۷ | ۲۶ | ۱۷/۴ | ۲۶ | ۱۷/۴ | ۶۰/۸۶ | ۳۰/۴ | ۳۰/۴ | ۲۱/۷ | DRI |
|-----------------|-------|--------|--------|--------|-------|-------|-------|-------------|--------|---------|-------|------|-------|------|----|------|------|------|-------|------|------|------|------|
| ZSIAP | ۴۳/۵ | ۴۳/۴۷ | ۴۷/۸۲ | ۴۳/۴۷ | ۳۹/۱ | ۴۷/۸۲ | ۴۳/۴۷ | ۳۹/۱۳ | ۴۳/۴۷ | ۴۳/۴۷ | ۳۹/۱ | ۲۱/۷ | ۳۴/۸ | ۴۷/۸ | ۲۶ | ۲۶ | ۳۴/۸ | ۳۴/۸ | ۱۷/۴ | ۴۷/۸ | ۳۹/۱ | ۲۶ | PNPI |
| | | | | | | | | | | | | | | | | | | | | | | | |

منبع: یافته‌های پژوهش، ۱۳۹۸

بررسی نتایج حاصل از اعمال شاخص‌های سه گانه تعیین آستانه‌های خشکسالی برای ایستگاه‌های خوزستان آشکار نمود که شاخص ZSIAP مطمئن‌ترین و شاخص DRI نامطمئن‌ترین شاخص برای برآورد بارش قابل اعتماد می‌باشدند. از نظر دقت برآورد شاخص PNPI در حد واسط شاخصهای DIR و ZSIAP قرار دارد. در محدوده مطالعاتی در شاخص DIR ایستگاه ماهشهر با ۴۷/۸ درصد (با اعتمادترین) و ایستگاه بهبهان با ۱۷/۴ درصد (کم اعتمادترین) و در شاخص ZSIAP ایستگاه بهبهان با ۶۰/۹ درصد (با اعتمادترین) و ایستگاه‌های بستان و ایذه با ۱۷/۴ درصد (کم اعتمادترین) برآورد بارشی را ارائه داده‌اند. در شاخص ZSIAP ایستگاه امیدیه با ۴۷/۸ درصد (با اعتمادترین) و ایستگاه شوستر با ۳۴/۸ درصد (کم اعتمادترین) برآورد بارشی را ارائه داده‌اند.

تحلیل روند خشکسالی در استان

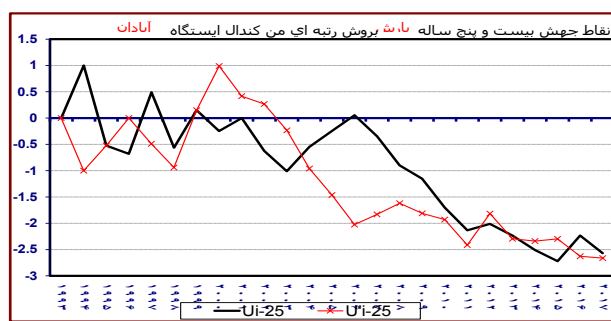
در ادامه جهت تحلیل روند خشکسالی استان از آزمون ناپارامتریک روند یابی من کنдал استفاده شده است و ایستگاه‌ها و پنهنه‌های هم روند شناسایی، ترسیم و تفسیر شدند. جهت کاهش حجم مقاله نمودارها و تفاسیر ایستگاه‌های آبادان، اهواز، دزفول، بهبهان و ایذه به نمایندگی از مناطق جغرافیایی استان آورده شده است.

بررسی نمودار گرافیکی من کنдал ایستگاه آبادان طی دوره مطالعاتی نشان داد که طی سال‌های ۱۹۹۹، ۱۹۹۶، ۱۹۹۲، ۲۰۱۲، ۲۰۱۳ و ۲۰۱۴ مقادیر Ua و Ul همیگر را قطع نموده‌اند و جهش یا روند را به نمایش گذاشته‌اند. آغاز این تغییرات ناگهانی و نقطه جهش از سال ۲۰۰۴ بوده است. از آنجا که دو سری خارج از محدوده بحرانی $-1/96$ - تا $+1/96$ همیگرا را قطع نموده‌اند و در محدوده منفی نمودار قرار دارند سری زمانی روندی کاهشی را آشکار می‌سازد شکل (۲). بررسی نمودار گرافیکی من کنдал ایستگاه اهواز آشکار نمود که طی دهه اول (۱۹۹۳-۲۰۰۳) مقادیر Ua و Ul برخوردي نداشته‌اند و همیگر را قطع نموده‌اند. آغاز تغییرات ناگهانی و نقطه جهش از سال ۲۰۰۳ بوده است. در آغاز دهه دوم و ۲۰۰۳ و ۲۰۱۷ همیگر را قطع نموده‌اند. آغاز تغییرات ناگهانی و نقطه جهش از سال ۲۰۰۴ بوده است. در آغاز دهه دوم و از سال ۲۰۰۴ به بعد دو سری خارج از محدوده بحرانی $-1/96$ - تا $+1/96$ همیگرا را قطع نموده‌اند و در محدوده منفی نمودار قرار دارند. در مجموع سری زمانی روندی کاهشی ملایمی و محسوسی را آشکار می‌سازد شکل (۳).

بررسی نمودار گرافیکی من کنдал ایستگاه بهبهان آشکار نمود که طی دهه اول (۱۹۹۳-۲۰۰۳) مقادیر Ua و Ul برخوردي نداشته‌اند و با فاصله به موازات هم در دو بخش منفی و مثبت نمودار قرار گرفته‌اند. بر این اساس روند مشخصی در سری مشاهده نمی‌شود. دو سری در سال‌های ۲۰۰۳، ۲۰۰۹، ۲۰۱۲ و ۲۰۱۷ همیگر را قطع نموده‌اند. آغاز تغییرات ناگهانی و نقطه جهش از سال ۲۰۰۳ بوده است. در آغاز دهه دوم و از سال ۲۰۰۴ به بعد دو سری داخل محدوده بحرانی $-1/96$ - تا

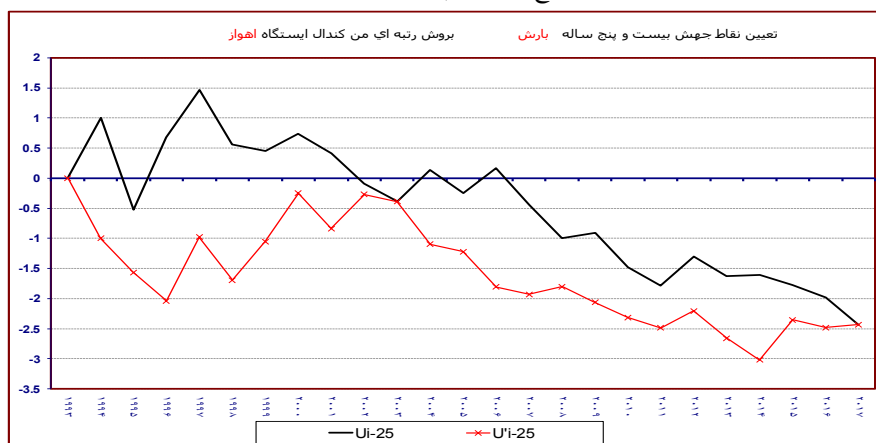
۱۰۶ فصلنامه علمی - پژوهشی جغرافیا و برنامه‌ریزی منطقه‌ای، سال دوازدهم، شماره اول، زمستان ۱۴۰۰

۱/۹۶ + همیگرا را قطع نموده‌اند. در مجموع سری زمانی روندی مشخصی را آشکار نمی‌سازد شکل (۴). بررسی نمودار گرافیکی من کندال ایستگاه دزفول طی دوره مطالعاتی نشان داد که مقادیر دو سری U_{t-25} بدون برخورد و با فاصله هر کدام بترتیب در بازه مثبت و منفی نمودار به موازات یکدیگر قرار گرفته‌اند. بر این اساس جهش، تغییر و روند خاصی در سری بارش اینایستگاه مشاهده نمی‌شود شکل (۵). بررسی شکل (۶) آشکار نمود که نمودار گرافیکی من کندال بارش ایستگاه ایده طی دوره مطالعاتی تغییرات متعدد و ملموسی را تجربه کرده است. مقادیر U_t و U_{t-25} برخوردهای مکرر جهش‌های متعددی دارند و ضمن قطع نمودن یکدیگر روند مشخصی را نشان داده‌اند. از ابتدای دوره دو سری تغییرات ناگهانی و نقطه جهش مشخصی را عمدتاً در بازه منفی نمودار نشان می‌دهند. دو سری خارج از محدوده بحرانی ۱/۹۶ - تا ۱/۹۶ + همیگرا را قطع نموده‌اند و در محدوده منفی نمودار قرار دارند. در مجموع سری زمانی بارش مسجد سلیمان روندی کاهشی را آشکار می‌سازد.



شکل ۲ - نمودار من کندال سری زمانی بارش ایستگاه آبادان در دوره آماری (۱۹۹۳-۲۰۱۷)

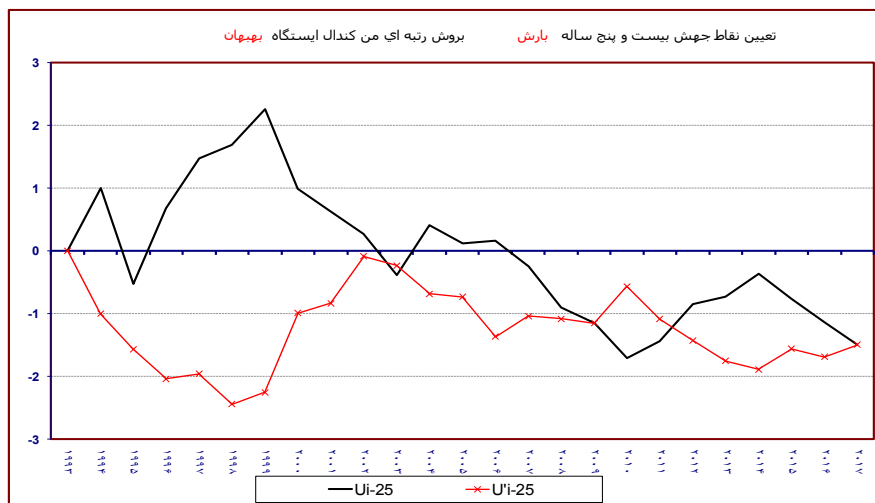
منبع: یافته‌های پژوهش، ۱۳۹۸



شکل ۳ - نمودار من کندال سری زمانی بارش ایستگاه اهواز (۱۹۹۳-۲۰۱۷)

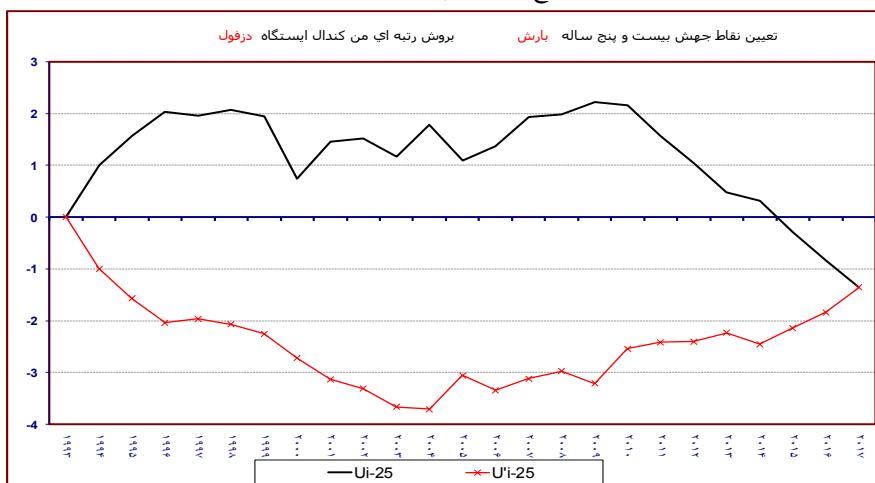
منبع: یافته‌های پژوهش، ۱۳۹۸

۱۰۷ تحلیل فضایی روند خشکسالی و محاسبه...



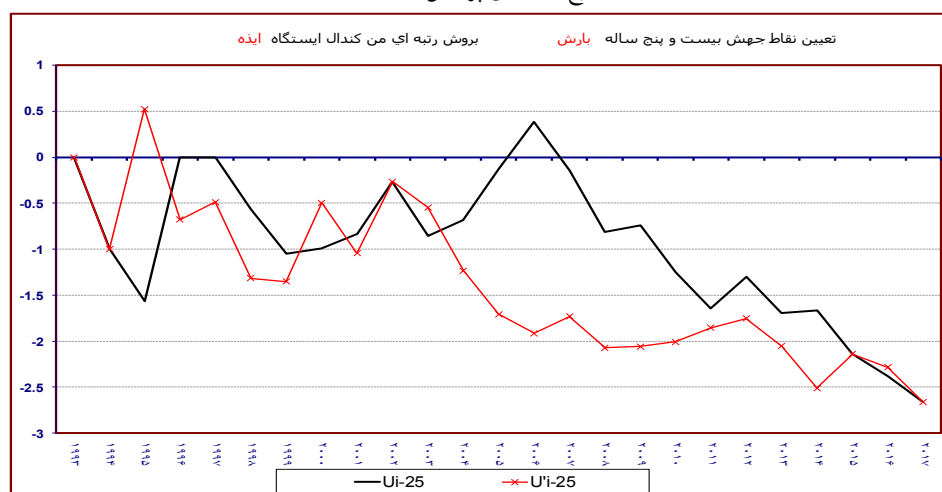
شکل ۴ - نمودار من کندال سری زمانی بارش ایستگاه بجهان (۱۹۹۳-۲۰۱۷)

منبع: یافته های پژوهش، ۱۳۹۸



شکل ۵ - نمودار من کندال سری زمانی بارش ایستگاه دزفول (۱۹۹۳-۲۰۱۷)

منبع: یافته های پژوهش، ۱۳۹۸



شکل ۶ - نمودار من کندال سری زمانی بارش ایستگاه ایذه (۱۹۹۳-۲۰۱۷)

منبع: یافته های پژوهش، ۱۳۹۸

نتیجه گیری و دستاورد علمی پژوهشی

پنهان‌بندی خشکسالی استان با استفاده از شاخصهای سه گانه ZSIAP, PNPI, DIR و شاخصهای مورد استفاده به عنوان ابزاری سودمند، توانایی آشکارسازی رفتار زمانی - مکانی شرایط خشکسالی استان را دارند. بررسی نتایج آشکار نمود که شاخص ZSIAP مطمئن‌ترین و شاخص DIR نامطمئن‌ترین شاخص برای برآورد بارش قابل اعتماد استان می‌باشد. از نظر دقت برآورد شاخص PNPI در حد واسطه شاخصهای DIR و ZSIAP قرار دارد. در محاسبات شاخص PNPI ایستگاه ماهشهر با اعتماد‌ترین و ایستگاه بهبهان کم اعتماد‌ترین و در محاسبات شاخص DIR ایستگاه بهبهان با اعتماد‌ترین و ایستگاه‌های بستان و ایده کم اعتماد‌ترین برآورد بارشی را ارائه داده‌اند. در محاسبات شاخص ZSIAP ایستگاه امیدیه با اعتماد‌ترین و ایستگاه شوستر کم اعتماد‌ترین (ایستگاه‌ها بوده‌اند. روندیابی خشکسالی در استان نشان داد که طی بیش از دو دهه اخیر ایستگاه‌های بستان، بهبهان، شوستر و دزفول فاقد روند بوده‌اند. ایستگاه‌های امیدیه، ایده، مسجد سلیمان، ماهشهر، آبادان، رامهرمز، اهواز روند منفی داشته‌اند یعنی شدت خشکسالی در این مناطق افزایش یافته است.

منابع

- اربابی سبزواری آزاده (۱۳۸۹) تحلیل اثر خشکسالی با روش درون یابی شاخص Z نرمال بارندگی در سامانه سیستم اطلاعات جغرافیایی (GIS) در منطقه کاشان جغرافیای طبیعی، صص: ۱۰۵-۱۲۴.
- بذر افshan، جواد (۱۳۸۱) مطالعه تطبیقی برخی شاخصهای خشکسالی هواشناسی در چند نمونه اقلیمی ایران، پایان نامه کارشناسی ارشد هواشناسی کشاورزی، دانشگاه تهران، دانشکده کشاورزی.
- یک دلی، آتوسا (۱۳۸۷) تعیین آستانه خشکسالی و محاسبه میزان بارش قبل اعتماد ایستگاه‌های محدوده غرب استان گیلان، همایش منطقه‌ای ححران آب و خشکسالی، دانشگاه آزاد رشت ۳۰ و ۳۱ اردیبهشت ۱۳۸۷.
- جهانبخش اصل، سعید و قویدل رحیمی، یوسف (۱۳۸۱) تحلیل توزیع فضایی دوره‌های مرطوب و خشک ایستگاه‌های حوضه آبریز دریاچه ارومیه، فضای جغرافیایی، شماره ۵: ص ۲۷-۱۷.
- رضیئی، طیب و همکاران (۱۳۸۲) پایش پدیده خشکسالی در ایران مرکزی با استفاده شاخص SPI، سومین کفرانس منطقه‌ای و اولین کنفرانس ملی تغییر اقلیم، اصفهان، مهر و آبان ۸۲.
- رمضانی گورابی، بهمن (۱۳۸۴) بررسی پدیده خشکسالی با استفاده از شاخص درصد نرمال بارندگی در نواحی مرکزی گیلان، مجله بیابان، جلد ۱۰، شماره ۲، ص ۲۴۹-۲۵۶.
- Zahedi, Majid and Qoyidell Rehimi, Yousif (1381) شناخت، طبقه‌بندی و پیش‌بینی خشکسالی با استفاده از روش سری‌های زمانی در حوضه آبریز دریاچه ارومیه، پژوهش‌های جغرافیایی، شماره ۵۹: ص ۳۴.
- Sif, Zahra and Meroofi, Sif (1388) ارزیابی و تحلیل روند خشکسالی و شاخصهای آن در شهر شاهروд همایش ملی بحران آب در کشاورزی و منابع طبیعی.
- عیوضی معصومه، مساعدی ابوالفضل (۱۳۹۰) پایش و تحلیل مکانی خشکسالی هواشناسی در سطح استان گلستان با استفاده از روش‌های زمین آماری، مجله مرتع و آبخیزداری (منابع طبیعی ایران) شماره ۶۴(۱): ۶۵-۷۸.
- قدرتی، علیرضا (۱۳۸۹) بررسی خشکسالی در استان گیلان با استفاده از نمایه استاندارد شده بارش کاربرد آن در کم آبی و کشاورزی، دومین کنفرانس سراسری مدیریت جامع منابع آب، کرمان.

١٠٩ تحلیل فضایی روند خشکسالی و محاسبه ...

Palmer, W. C., 1965: Meteorological drought. Office of Climatology, Research Paper 45, U.S. Weather Bureau, 58 pp.

WMO.,2004: Hydrological aspects of drought. Studies and Reports in Hydrology, No. 39, UNESCO-WMO, Geneva, Switzerland, 149 pp